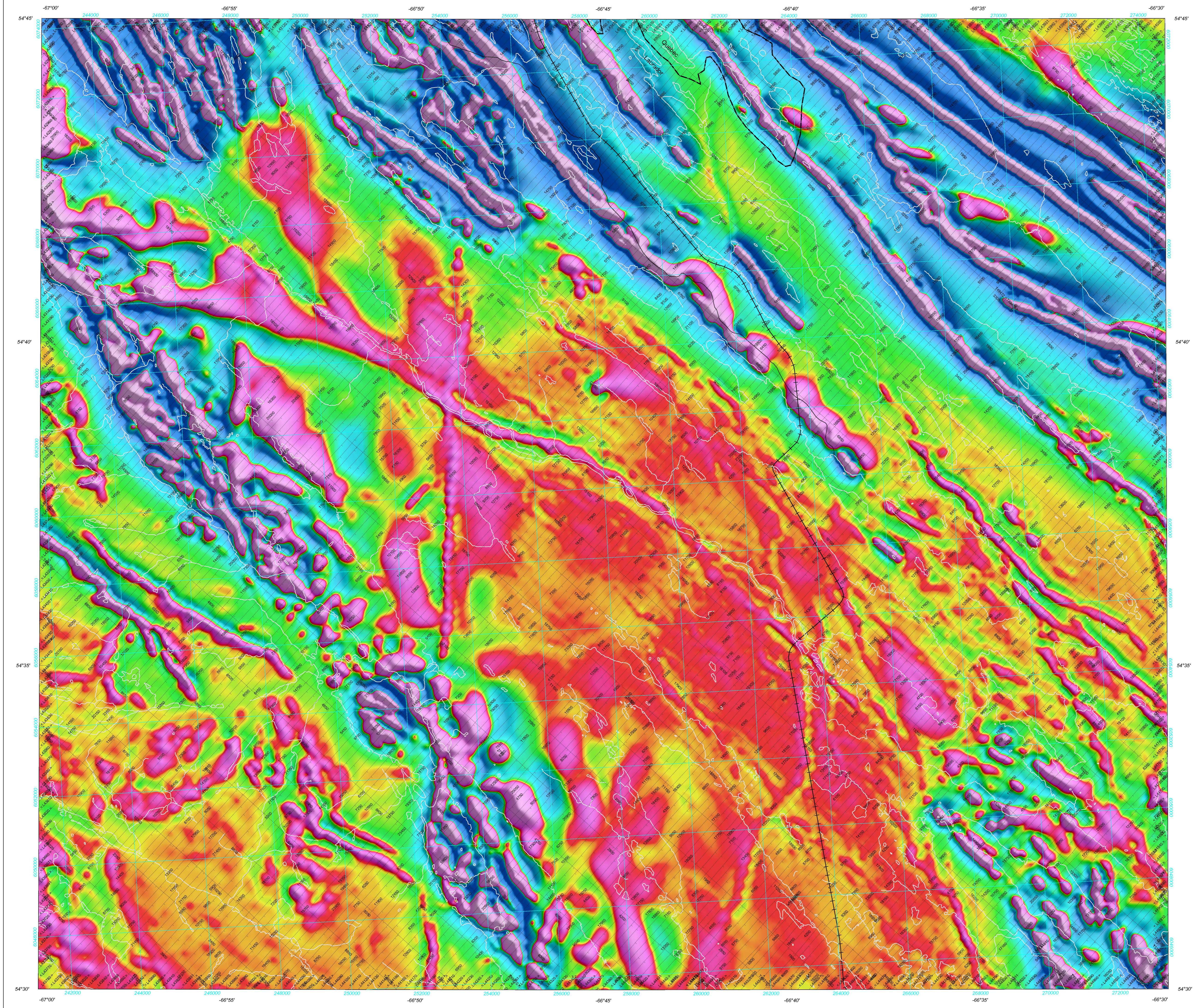


GEOPHYSICAL SERIES / SÉRIE DES CARTES GÉOPHYSIQUES

DÉRIVÉE PREMIÈRE VERTICALE DU CHAMP MAGNÉTIQUE



A quantitative gamma-ray spectrometric and aeromagnetic airborne geophysical survey was completed by Fugro Airborne Surveys over Schefferville, over areas located in Newfoundland and Labrador and Québec. The survey was flown from May 23 to Aug 30th, 2009 using two Cessna 208B Caravan aircraft (C-GNCA and C-GFAY) and one Cessna 404 Titan aircraft (C-FYAU).

The airborne gamma-ray measurements were made with an Exploranium GR820 gamma-ray spectrometer using ten (C-GFAY and C-FYAU) or fourteen (C-GNCA) 102 x 102 x 408 mm NaI (Tl) crystals. The main detector array consisted of eight (C-GFAY and C-FYAU) or twelve (C-GNCA) crystals (total volume 35.6 litres and 50.4 litres, respectively). Two crystals on all aircraft (total volume 8.4 litres) were used to detect variations in background radiation caused by atmospheric factors.

Potassium is measured directly from the 1460 keV gamma-ray photons emitted by ⁴⁰K, whereas uranium and thorium are measured indirectly from gamma-ray photons emitted by daughter products (²¹⁴Pb for uranium and ²¹⁴Pb for thorium). Although these daughters are far from their respective decay chains, they are assumed to be in equilibrium with their parents, thus gamma-ray spectrometric measurements of uranium and thorium are referred to as equivalent uranium and equivalent thorium, i.e. eU and eTh. The energy windows used to measure potassium, uranium and thorium are, respectively: 1370 - 1570 keV, 1660 - 1860 keV, and 2410 - 2810 keV.

Gamma-ray spectra were recorded at one-second intervals. During processing the spectra were energy calibrated, and the counts were accumulated into the windows described above. Counts from the main detector were recorded in a 1600 - 1900 keV window and radiation at energies greater than 2000 keV was recorded in the cosmic window. The window counts were corrected for dead time, background activity from cosmic radiation, radioactivity of the aircraft and atmospheric radon decay products. The window data were then corrected for spectral scattering in the ground, air and detectors. Corrections for deviations from the planned terrain clearance and for variation of temperature and pressure were made prior to conversion to ground concentrations of potassium, uranium and thorium, using factors determined from flights over the Brookings, Québec calibration range. The factors for potassium, uranium, and thorium were, respectively: 137.63 cpsppm, 16.60 cpsppm, and 7.57 cpsppm for C-GNCA; 79.86 cpsppm, 16.60 cpsppm, and 7.32 cpsppm for C-FYAU; and 91.10 cpsppm, 16.18 cpsppm, and 4.92 cpsppm for C-GFAY.

Corrected data were filtered and interpolated to a 50 m grid interval. The results of an airborne gamma-ray spectrometer survey represent the average surface concentrations that are influenced by varying amounts of outcrop, overburden, vegetation cover, soil moisture and surface water. As a result the measured concentrations are usually lower than the actual bedrock concentrations. The total air absorbed dose rate in nanograms per hour was produced from measured counts between 400 and 2810 keV.

The magnetic field was sampled 10 times per second using a split-beam cesium vapour magnetometer (sensitivity = 0.005 nT) rigidly mounted to the aircraft. Differences in magnetic values at the intersections of control and traverse lines were computer-analyzed to obtain a mutually leveled set of flight-line magnetic data. The leveled values were then interpolated to a 50 m grid. The International Geomagnetic Reference Field (IGRF) defined at the average GPS altitude of 632 m above sea level for the year 2009.5 was then removed. Removal of the IGRF, representing the magnetic field of the Earth's core, produces a residual component related essentially to magnetizations within the Earth's crust.

The first vertical derivative of the magnetic field is the rate of change of the magnetic field in the vertical direction. Computation of the first vertical derivative removes long-wavelength features of the magnetic field and significantly improves the resolution of closely spaced and superposed anomalies. A property of first vertical derivative maps is the coincidence of the zero-value contour with vertical contacts at high magnetic latitudes (Hood, 1965).

Hood, P.J., 1965. Gradient measurements in aeromagnetic surveying. Geophysics, v. 30, p. 891-902.

Un levé géophysique aérien combinant l'acquisition de données quantitatives de spectrométrie gamma et de données magnétiques a été réalisé, par la société Fugro Airborne Surveys, au-dessus de Schefferville, dans des régions de Terre-Neuve et du Labrador ainsi qu'au Québec. Le levé a été effectué du 23 mai au 30 août 2009, à bord de deux avions Cessna 208B Caravan immatriculés C-GNCA et C-GFAY ainsi qu'un avion Cessna 404 Titan immatriculé C-FYAU.

Les mesures du rayonnement gamma ont été effectuées à l'aide d'un spectromètre gamma Exploranium GR820 utilisant dix (C-GFAY et C-FYAU) ou quatorze (C-GNCA) cristaux de NaI (Tl) de 102 x 102 x 408 mm. Le principal réseau de capteurs se composait de huit (C-GFAY et C-FYAU) ou douze (C-GNCA) cristaux (volume total de 35,6 et 50,4 litres respectivement). Deux cristaux (volume total de 8,4 litres), protégés par le réseau principal, ont été utilisés pour détecter les variations du rayonnement naturel causées par le radon atmosphérique. Le dispositif permettait de faire un suivi constant des pics du thorium pour chacun des cristaux et, au moyen d'un algorithme d'ajustement gaussien par la méthode des moindres carrés, de compenser le gain pour chacun des cristaux.

Le potassium est mesuré directement à partir des photons gamma émis par le ⁴⁰K, tandis que l'uranium et le thorium sont mesurés indirectement à partir des photons gamma émis par des produits de fission (²¹⁴Pb pour l'uranium et ²¹⁴Pb pour le thorium). Bien que ces radionucléides de fission se trouvent loin dans leur chaîne respective de désintégration, on présume qu'ils sont en équilibre avec leur radionucléide père, ainsi, les mesures spectrométriques du rayonnement gamma de l'uranium et du thorium sont désignées comme des équivalents d'uranium et des équivalents de thorium, soit eU et eTh. Les plages d'énergie utilisées pour mesurer le potassium, l'uranium et le thorium sont respectivement : de 1 370 à 1 570 keV, de 1 660 à 1 860 keV et de 2 410 à 2 810 keV.

Les spectres du rayonnement gamma ont été enregistrés pendant des intervalles d'une seconde. Pendant le traitement, les spectres ont été soumis à un étalonnage énergétique et les coups ont été cumulés dans les plages décrites ci-dessus. Les coups obtenus à l'aide des capteurs de radon ont été enregistrés dans la plage de 1 600 à 1 900 keV et le rayonnement à des énergies supérieures à 2 000 keV a été enregistré dans la plage du rayonnement cosmique. Les coups enregistrés dans les plages ont été corrigés pour tenir compte du temps mort, du rayonnement de fond dû au rayonnement cosmique, de la radioactivité de l'aéronef et des produits de désintégration du radon atmosphérique. Les données pour les plages ont ensuite été corrigées pour tenir compte de la diffusion spectrale dans le sol, l'air et les détecteurs. Les corrections pour les écarts à la hauteur de vol prévue et les variations de température et de pression ont été effectuées avant la conversion en concentrations équivalentes au sol du potassium, de l'uranium et du thorium, en utilisant des facteurs déterminés par une comparaison avec des résultats obtenus au vol effectués au-dessus d'une bande d'étalonnage à Brookings, Québec. Les facteurs déterminés pour le potassium, l'uranium et le thorium étaient respectivement de 137,63 cpsppm, 16,60 cpsppm, et 7,57 cpsppm pour C-GNCA; 79,86 cpsppm, 16,60 cpsppm, et 7,32 cpsppm pour C-FYAU; et 91,10 cpsppm, 16,18 cpsppm, et 4,92 cpsppm pour C-GFAY.

Un filtre a été appliqué aux données corrigées, qui ont ensuite été interpolées suivant une grille à maille de 50 m. Les résultats d'un levé aérien de spectrométrie gamma représentent les concentrations moyennes des éléments à la surface, lesquelles sont influencées par la proportion relative de l'étendue des affleurements, du relief, de la couverture végétale et d'eau de surface. Par conséquent, les concentrations mesurées sont habituellement plus faibles que les concentrations réelles dans le substrat rocheux. Le débit total de la dose absorbée par l'air, en nanogrammes à l'heure, a été déterminé à partir des coups mesurés dans la plage de 400 à 2 810 keV.

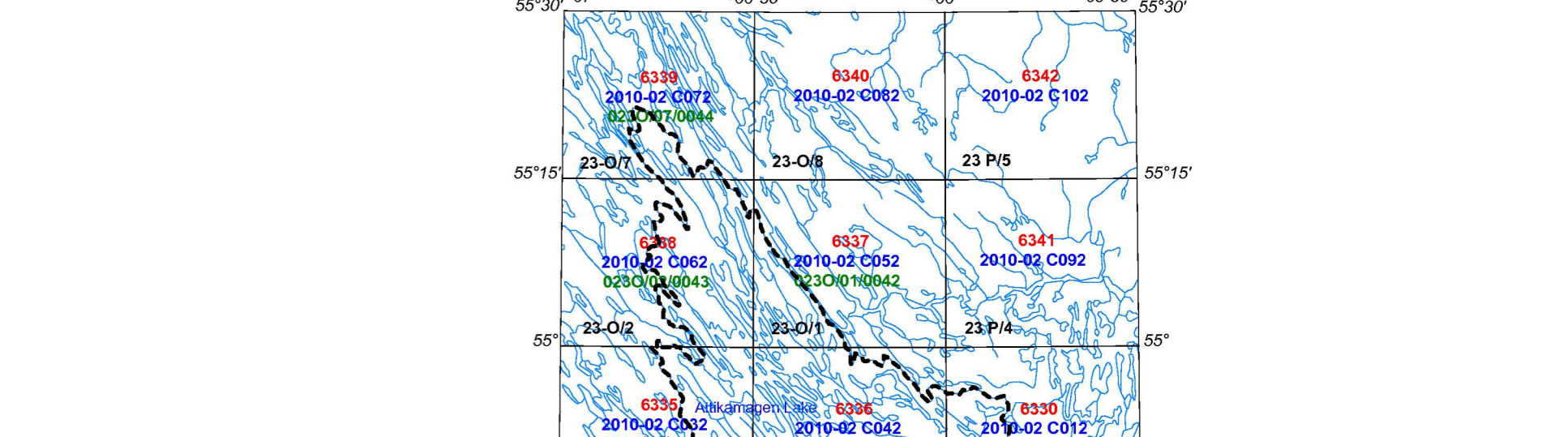
Le champ magnétique a été échantillonné 10 fois par seconde à l'aide d'un magnétomètre à vapeur de césium à faisceau partagé (sensibilité = 0,005 nT) rigidement fixé à l'aéronef. Les différences de valeur du champ magnétique aux intersections des lignes de contrôle de levé ont été analysées par ordinateur afin d'obtenir un jeu de données sur le champ magnétique mutuellement nivelées sur les lignes de vol. Ces valeurs nivelées ont ensuite été interpolées suivant une grille à maille de 50 m. Le champ géomagnétique international de référence (International Geomagnetic Reference Field, IGRF) défini à l'altitude moyenne de 632 m au-dessus de la mer fournie par les données GPS pour l'année 2009,5 a été soustrait. La soustraction de l'IGRF, qui représente le champ magnétique du noyau terrestre, fournit une composante résiduelle essentiellement reliée à la magnétisation de l'écorce terrestre.

La dérivée verticale du champ magnétique représente le taux auquel varie le champ magnétique suivant la verticale. Le calcul de la dérivée première verticale supprime les composantes de grande longueur d'onde du champ magnétique et améliore considérablement la résolution des anomalies rapprochées les unes des autres ou superposées. Une propriété des cartes de la dérivée première verticale est la coïncidence de l'isogramme de valeur zéro et des contacts verticaux aux hautes latitudes magnétiques (Hood, 1965).

Hood, P.J., 1965. Gradient measurements in aeromagnetic surveying. Geophysics, v. 30, p. 891-902.

PLANIMETRIC SYMBOLS / SYMBOLES PLANIMÉTRIQUES. Table with 2 columns: Roads, Railway, Power Line, Drainage, Flight path, Routes, Chemin de fer, Ligne de transport d'énergie, Drainage, Ligne de Vol.

OSG Open File Numbers in Red-Numéros de dossiers publics de la GDC en rouge. Newfoundland and Labrador Open File Numbers in Green-Numéros de dossiers publics de Terre-Neuve et du Labrador en vert. Québec Open File Numbers in Blue-Numéros de dossiers publics au Québec en bleu.



This airborne geophysical survey and the production of this map were funded by the Geomapping for Energy and Minerals (GEM) Program of the Earth Sciences Sector, Natural Resources Canada.

NEWFOUNDLAND AND LABRADOR DEPARTMENT OF NATURAL RESOURCES, GEOLOGICAL SURVEY OPEN FILE 023J/10/0362. MINISTÈRE DES RESSOURCES NATURELLES ET DE LA FAUNE DU QUÉBEC DP 2010-02

GEOPHYSICAL SERIES / SÉRIE DES CARTES GÉOPHYSIQUES. NTS 23 J/10 / SNRC 23 J/10

LAKE ATTIKAMAGEN GEOPHYSICAL SURVEY SCHEFFERVILLE REGION. LEVÉ GÉOPHYSIQUE DU LAC ATTIKAMAGEN RÉGION DE SCHEFFERVILLE

FIRST VERTICAL DERIVATIVE OF THE MAGNETIC FIELD / DÉRIVÉE PREMIÈRE VERTICALE DU CHAMP MAGNÉTIQUE

Authors: R. Dumont, R. Fortin, S. Hefford and F. Dostalor

Auteurs: R. Dumont, R. Fortin, S. Hefford et F. Dostalor

Data acquisition, compilation and map production by Fugro Airborne Surveys, Ottawa, Ontario. Contract and project management by the Geological Survey of Canada, Ottawa, Ontario.

L'acquisition, la compilation des données ainsi que la production des cartes furent effectuées par Fugro Airborne Surveys, Ottawa, Ontario. La gestion et la supervision du projet furent effectuées par la Commission géologique du Canada, Ottawa, Ontario.

Scale 1:50 000 - Échelle 1/50 000

